

## BaO-P<sub>2</sub>O<sub>5</sub>-B<sub>2</sub>O<sub>3</sub> ガラスの特性と構造

### Properties and Structure of BaO-P<sub>2</sub>O<sub>5</sub>-B<sub>2</sub>O<sub>3</sub> Glasses

武 部 博 倫\*

Hiromichi Takebe\*

**Abstract:** Effect of B<sub>2</sub>O<sub>3</sub> addition on the thermal stability and properties of barium borophosphate glasses was studied in a series of (50-x/2)BaO-(50-x/2)P<sub>2</sub>O<sub>5</sub>-xB<sub>2</sub>O<sub>3</sub>, x = 0-12 mol%. No crystallization behavior was observed at ≥ 3 mol% B<sub>2</sub>O<sub>3</sub> for bulk form and at 7.5 mol% B<sub>2</sub>O<sub>3</sub> for powdered form. Glass transition and iso-viscosity temperatures increase and thermal expansion coefficient and density decrease with increasing B<sub>2</sub>O<sub>3</sub> concentration. The water durability evaluated by immersion test into hot water degrades due to the addition of B<sub>2</sub>O<sub>3</sub>. Raman spectroscopy reveals that the barium borophosphate glasses consist of metaphosphate Q<sup>2</sup> units with ring-type metaborate, diborate, and PO<sub>4</sub>-BO<sub>4</sub> groups. X-ray photoelectron spectroscopy suggests that the existence of P-O-B bonds at the surface of the grinded powders suppress the surface crystallization during softening process at high temperatures.

**Key words:** Phosphate glass, Thermal properties, Structure, Crystallization

### 1. 緒 言

リン酸塩ガラスは、一般にはケイ酸塩ガラスと比較して低融性・低温軟化性を有し、高濃度（≥50 mol%）に金属酸化物を含有した上でガラス形成可能であることを特徴とする。リン酸塩ガラスの中でBaO-P<sub>2</sub>O<sub>5</sub>系ガラスは良耐水性<sup>[1]</sup>と低光弾性<sup>[2]</sup>の特性を有しており、短尺・高出力ファイバレーザー、電流センサーファイバ等新しい光ファイバデバイスや鉛フリークリットガラスの候補材料である。BaO-P<sub>2</sub>O<sub>5</sub>二元系ガラスでは、光ファイバや粉末焼結体を形成するための高温での軟化過程において、表面から結晶化が起こることが未解決課題であった<sup>[3], [4]</sup>。しかしながら、同ガラスの耐結晶化性はB<sub>2</sub>O<sub>3</sub>を添加することで顕著に改善される<sup>[4]</sup>。

本報告では、BaO-P<sub>2</sub>O<sub>5</sub> (BP) ガラスの耐結晶化性に及ぼすB<sub>2</sub>O<sub>3</sub>の添加効果およびBaO-P<sub>2</sub>O<sub>5</sub>-B<sub>2</sub>O<sub>3</sub>(BPB)ガラスの特性とガラス構造との関係について紹介する。

Journal of American Ceramic Society 第87巻 第3号 (2004) pp.408 - 411.

Journal of American Ceramic Society 第89巻 第1号 (2006) pp.247 - 250.

Physics and Chemistry of Glasses: European Journal of Glass Science and Technology B 第48巻 第3号 (2007) pp.113 - 116.

\* 松山市文京町3 愛媛大学大学院理工学研究科

Graduate School of Science and Engineering, Ehime University, Matsuyama 790-8577, Japan

原稿受理 平成20年10月31日

## 2. 実験方法

### 2.1 ガラス試料の調製

試料組成は $(50-x/2)\text{BaO}-(50-x/2)\text{P}_2\text{O}_5-x\text{B}_2\text{O}_3$ ,  $x = 0-12 \text{ mol\%}$ である。原料には  $\text{Ba}(\text{PO}_3)_2$  (純度 99.99%, 白辰化学研究所製) と  $\text{B}_2\text{O}_3$  (純度 99.9%, 添川理化学製) を用いた。所定の組成に原料を秤量した後、磁性乳鉢と乳棒で混合した。バッチ量は 10–20 g である。混合粉末はシリカルツボに入れ、500°C で 2 時間仮焼することで原料中の水分を低減した後、1250°C で 1 時間大気中にて溶融を行った。溶融した後、予め加熱したグラファイト製モールドに流し出し、引き続きガラス転移温度で 1 時間アニールを行い、その後室温まで  $1^{\circ}\text{C min}^{-1}$  で冷却することでガラス試料を作製し、以下の評価に用いた。

リン酸塩ガラスの特性は残存する OH 量の影響を受けることから<sup>[5]</sup>、赤外分光分析装置 (IR440, 島津製作所製) を用い、以下の式に従いガラス中に含まれる OH 量を算出した<sup>[6]</sup>。

$$\alpha_{\text{OH}} = 300 \times \log(T_\theta/T_D)/d \quad (1)$$

ここで、 $T_\theta$  は波長 2 μm での透過率、 $T_D$  は OH の吸収帯～3.6 μm ( $2800 \text{ cm}^{-1}$ ) での透過率、 $d$  は試料の厚さ [mm] である。

### 2.2 特性評価

ガラス転移温度  $T_g$  と結晶化開始温度  $T_x$  は示差熱分析装置 (DTA) (TG-8120, リガク製) を用い、評価した。試料形状は約 1–2 mm の塊または 100–150 μm 径の粉末であり、試料量は 20 mg である。DTA 試料は昇温速度  $10^{\circ}\text{C min}^{-1}$  で 800°C まで加熱した。一つの組成に対し、少なくとも 3 回の測定を行った。

結晶化過程を調査するために、 $10 \times 10 \times 2 \text{ mm}$  の平板状ガラス試料と DTA 試料と同様の粉末状ガラス試料について熱処理を行った。昇温速度は  $10^{\circ}\text{C min}^{-1}$  とし、所定の温度まで昇温した後、室温まで冷却し結晶化の有無を確認した。結晶相は X 線回折装置 (RINT2000, リガク製) で同定した。

熱膨張係数は 16–20 mm の棒状試料を用い、熱機械分析装置 (TMA) (TMA8310, リガク製) にて  $30^{\circ}$ – $450^{\circ}\text{C}$  で決定した。

密度は白灯油 (ケロシン) を浸液に用い、アルキメデス法で求めた。密度の測定誤差は  $\pm 0.01 \text{ g cm}^{-3}$  である。

ガラスの軟化状態における粘度  $\eta$ <sup>[7]</sup> は TMA を用い、ペネトレーション法<sup>[8]</sup>で  $10^7$ – $10^{11} \text{ Pa}\cdot\text{s}$  の範囲にて求めた。試料は直径約 5 mm, 3–4 mm 厚さのディスク状ガラスであり、表面は鏡面に仕上げている。各温度での  $\eta$  を次式にて求めた。

$$\eta = Wt/A \quad (2)$$

ここで、W は荷重 [g], t は Ni 製ピン (直径 0.5 mm) がある一定深さ (ここでは 100 μm) 試料へ貫入するのにかかる時間 [s], A は装置定数であり、粘度と温度の関係が既知の標準試料 NBS711 を用いて求めた。

ガラス試料の耐水性を評価するために、MCC-1 静的試験法<sup>[9]</sup>でガラスの蒸留水への浸出挙動を調べた。試料サイズは  $10 \times 10 \times 1 \text{ mm}$  であり、6 つの面はすべて鏡面に仕上げている。試料を  $70^{\circ}\text{C}$  の熱水

中に72時間(3日間)浸漬した後、試料重量の減少量は次式で求めた。

$$[\text{Weight loss}] = \Delta W/S \quad (3)$$

ここで $\Delta W$ は浸漬前後での重量変化[kg], Sは試料の表面積[mm<sup>2</sup>]である。測定は各組成について3回行い、平均値を算出した。

### 2.3 構造解析

微細構造はレーザー顕微鏡(VK-8550, キーエンス製)またはFE-SEM(S-4500, HITACHI製)を用い、観察した。ガラス構造は顕微ラマン分光分析装置(NSR-2100, JASCO製)を用い、ラマン分光法で解析した。ガラス粉末の表面における化学結合状態を評価するために、酸素のO1s準位の束縛エネルギーをX線光電子分光分析装置(XPS)(AXIS165, Kratos製)を用い、評価した<sup>[10]</sup>。励起光源はモノクロのAlK<sub>a</sub>線( $h\nu=1486.49\text{ eV}$ )である。XPSスペクトルはガウシアンカーブでフィッティングを行い、波形分離を行った。大気中での表面状態を知るために、XPS測定用粉末試料はDTA試料粉末の調製と同様の方法でアルミナ製乳鉢と乳棒で粉碎した後、直ちに数nm厚さのAuをコーティングしXPS測定のための真空チャンバへ移動した。O1sの結合エネルギーはAuの<sup>4</sup>F<sub>7/2</sub>準位の結合エネルギー(84eV)を基準として求めた。

## 3. 結 果

### 3.1 残存OH量

いずれのガラス試料も肉眼では無色透明であり、分相の傾向は認められなかった。 $\sim 2600\text{ cm}^{-1}$ のOH吸収帯における吸収係数 $\alpha_{\text{OH}}$ は $2.9\text{--}4.2\text{ cm}^{-1}$ の範囲にあり、 $C_{\text{OH}}=30\times 10^{-4}$ <sup>[6]</sup>から算出したOH残存量は $84\text{--}127\times 10^{-4}\text{ mass\%}$ である。OHの残存量はB<sub>2</sub>O<sub>3</sub>の添加量とは無関係であり、再現性の高い特性データを得るために問題がないものと判断された。

### 3.2 耐結晶化性

Fig. 1に(a)バルクおよび(b)粉末状のBPおよびBPBガラスについて、DTA曲線を示す。Fig. 1(a)よりバルク試料ではB<sub>2</sub>O<sub>3</sub>の添加量の増大とともに、T<sub>g</sub>とT<sub>x</sub>のいずれも徐々に増大しており、3mol%

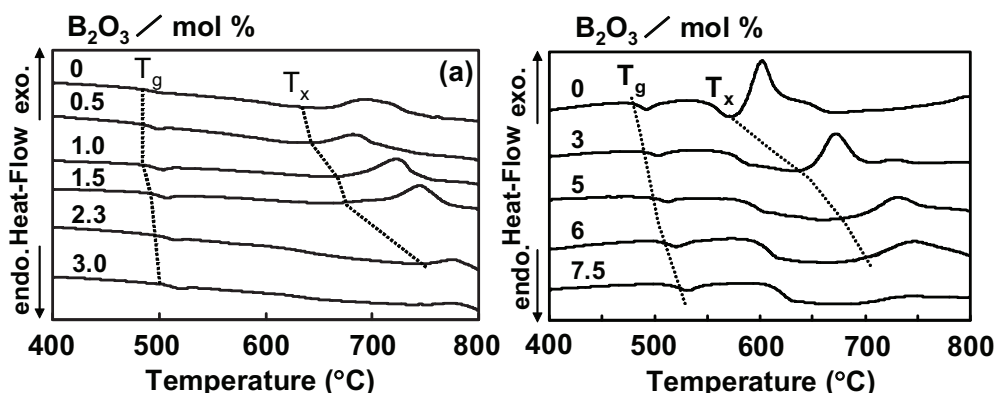


Fig. 1. DTA curves of (a) chunk and (b) powdered BP and BPB glasses with various B<sub>2</sub>O<sub>3</sub> concentrations.

$B_2O_3$  の試料では、 $T_x$  が観察されないことがわかる。また Fig. 1(b) より粉末試料では  $B_2O_3$  の添加量の増大とともに  $T_g$  と  $T_x$  のいずれも増大しているものの、3 mol%  $B_2O_3$  でも結晶化挙動が認められており、7.5 mol%  $B_2O_3$  で  $T_x$  が存在しないことが知られる。これらの結果は  $B_2O_3$  の添加によって BPB ガラスの耐結晶化性が向上することを意味している。

Fig. 2 は 50BaO–50P<sub>2</sub>O<sub>5</sub> の結晶化ピーク温度 (690°C) で 10 分間熱処理したバルク試料の外観を示している。 $B_2O_3$  無添加試料(a)では表面結晶化により白濁しているのに対し、3 mol%  $B_2O_3$  の試料(b)では軟化により巨視的形状は変形しているものの、全く結晶化しておらず、無色かつ透明であることがわかる。X 線回折の結果より熱処理した BP ガラスの結晶相はバリウムメタリン酸塩  $Ba(PO_3)_2$  であった。

Fig. 3(a)および(b)はそれぞれ 730°C で 10 分間熱処理した 47.5BaO–47.5P<sub>2</sub>O<sub>5</sub>–5B<sub>2</sub>O<sub>3</sub> ガラス粉末焼成体および 750°C で 10 分間熱処理した 46.25BaO–46.25P<sub>2</sub>O<sub>5</sub>–7.5B<sub>2</sub>O<sub>3</sub> ガラス粉末焼成体のレーザー顕微鏡写真である。730°C は DTA の結果で 47.5BaO–47.5P<sub>2</sub>O<sub>5</sub>–5B<sub>2</sub>O<sub>3</sub> ガラス粉末の結晶化ピーク温度に対応している (Fig. 1(b))。いずれの試料も熱処理後は軟化しており、47.5BaO–47.5P<sub>2</sub>O<sub>5</sub>–5B<sub>2</sub>O<sub>3</sub> ガラスでは、粒界のトレース (跡) と見られる箇所において、微細な結晶の析出が確認された (Fig. 3(a))。一方 46.25BaO–46.25P<sub>2</sub>O<sub>5</sub>–7.5B<sub>2</sub>O<sub>3</sub> ガラスでは、粘性流動によるガラス粒子同士の焼結が進行しているものの、微結晶の析出は認められなかった。

以上のように、DTA と熱処理した試料の外観および微細構造の観察から、 $B_2O_3$  の添加により BPB ガラスの耐結晶化性が向上し結晶化することなくガラス状態での軟化が可能であること、バルク試料と比較して、粉末試料では結晶化の抑制により多くの  $B_2O_3$  の添加が必要であることが判明した。

### 3.2 特性

Fig. 4(a)および(b)にそれぞれ(a)熱膨張係数および(b)密度の  $B_2O_3$  含有量に伴

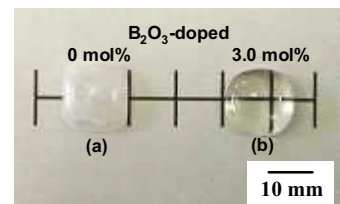


Fig. 2. Appearance of (a) BP and (b) BPB glasses heat-treated at 690°C for 10 min.

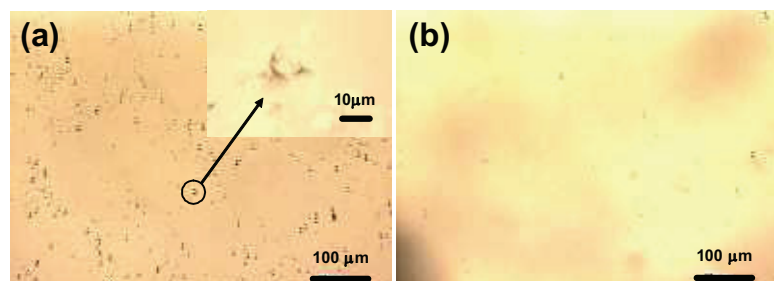


Fig. 3. Laser micrographs of (a) 47.5BaO–47.5P<sub>2</sub>O<sub>5</sub>–5B<sub>2</sub>O<sub>3</sub> glass treated at 730°C for 10 min and (b) 46.25BaO–46.25P<sub>2</sub>O<sub>5</sub>–7.5B<sub>2</sub>O<sub>3</sub> glass treated at 750°C for 10 min.

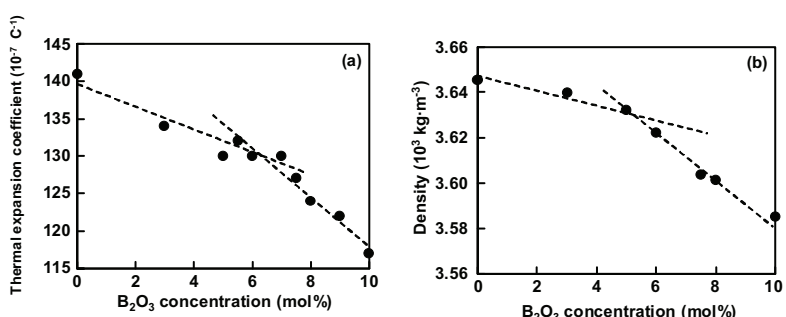


Fig. 4. Variations of (a) thermal expansion coefficient and (b) density with  $B_2O_3$  concentration in BPB glasses.

う変化を示している。 $\text{B}_2\text{O}_3$  含有量の増大とともに、熱膨張係数と密度のいずれも小さくなっている。またいずれの物性においても、6 mol%  $\text{B}_2\text{O}_3$  付近を境に物性値の組成依存性を示す点線の傾きが変化する傾向にあり、この組成の前後でガラス構造が変化していることを暗示している。

Fig. 5(a)および(b)はペネトレーション法で求めた BP および BPB ガラスの粘度のアレニウスプロットである。等粘度を示す温度（等粘度温度）を比較した場合、 $\text{B}_2\text{O}_3$ 含有量とともに等粘度温度は増大している。

Table 1 は BP および BPB ガラス

における浸出試験の結果である。表中には 1 日当たりの重量減少量を算出し、平均的な溶出速度として表示している。Table 1 から  $\text{B}_2\text{O}_3$  含有量の増大とともに溶出速度は増大しており、 $\text{B}_2\text{O}_3$  の添加は BPB ガラスの耐水性を劣化させることがわかる。Fig. 6 は浸出試験後の BP および BPB ガラス表面の SEM 写真である。 $\text{B}_2\text{O}_3$  無添加の BP ガラスでは研磨キズや 0.5  $\mu\text{m}$  以下の小さな穴のみ

が認められるのに対し (Fig. 6(a))、 $\text{B}_2\text{O}_3$  を添加した BPB ガラスでは約 100 nm 径の球状ナノ粒子の存在が認められる (Fig. 6(b))。この微粒子の存在量は  $\text{B}_2\text{O}_3$  含有量の増大とともに増える傾向にあり、微粒子の生成は  $\text{B}_2\text{O}_3$  成分と熱水との反応に起因するものと判断される。

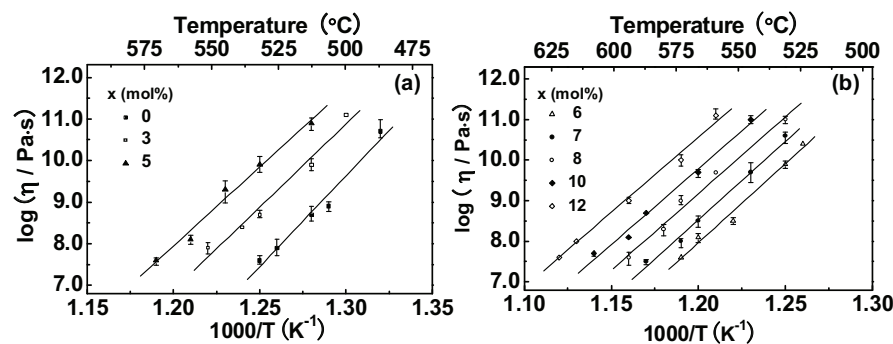


Fig. 5. Log viscosity versus reciprocal temperature for BP and BPB glasses with various  $\text{B}_2\text{O}_3$  concentrations. (a) 0–5 mol%  $\text{B}_2\text{O}_3$  and (b) 6–12 mol%. The plots show average values with error bars. The plots without error bars mean that the error ranges are smaller than the sizes of the plot symbols. The lines are linear least square fits to experimental data.

Table 1 Average dissolution rate of BP and BPB glasses. The samples were immersed into distilled water at 70°C for 72 h. The pH after immersion test is also shown in this table.

$\text{B}_2\text{O}_3$ (mol%)	0	3	7.4	10
Average dissolution rate ( $\text{kg} \cdot \text{mm}^{-2} \cdot \text{day}^{-1}$ )	$4.6 \times 10^{-10}$	$1.9 \times 10^{-9}$	$5.3 \times 10^{-9}$	$1.6 \times 10^{-8}$
pH (after)	6.3 – 6.4	6.0 – 6.9	5.3 – 5.8	4.6 – 5.2

Measured 3 – 5 times for each composition.

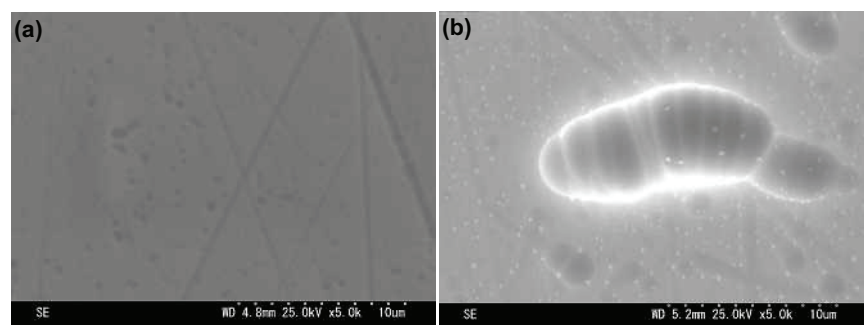


Fig. 6. SEM micrographs of surfaces of BP and BPB glasses immersed into distilled water at 70°C for 72 h. (a) 0 mol%  $\text{B}_2\text{O}_3$  and (b) 10 mol%  $\text{B}_2\text{O}_3$ .

### 3.3 ガラス構造

Fig. 7 は BP ガラスおよび BPB ガラスのラマン散乱スペクトルである。リン酸塩ガラスの基本的な  $\text{PO}_4$  四面体の構成単位は  $Q^i$  ( $i$  は  $\text{PO}_4$  四面体 1 個当たりの架橋酸素の数)<sup>[11]</sup> で表される。BP ガラスでは  $1000\text{--}1400\text{ cm}^{-1}$  に P–O 結合による非架橋酸素の対称性および非対称性伸縮振動が認められる。 $620\text{--}820\text{ cm}^{-1}$  には P–O–P による架橋酸素の対称性および非対称性伸縮振動が存在している<sup>[11]</sup>。BP ガラスにおける  $1180\text{ cm}^{-1}$  の散乱帶はメタリン酸塩の  $Q^2$  ユニットに帰属される。BPB ガラスでは  $600\text{--}650\text{ cm}^{-1}$  と  $1050\text{--}1150\text{ cm}^{-1}$  に散乱帶が存在し、 $\text{B}_2\text{O}_3$  含有量の増大とともにそれらの強度は増大している。 $600\text{--}650\text{ cm}^{-1}$  の散乱帶はリングタイプのメタボレート<sup>[12]</sup>に帰属され、 $1050\text{--}1150\text{ cm}^{-1}$  の散乱帶はダイボレートグループ (DBG) <sup>[13], [14]</sup> や  $\text{B}^{3+}$  に囲まれた  $[\text{PO}_4]^{3-}$  四面体 ( $\text{PO}_4\text{--BO}_4$  グループ)<sup>[15], [16]</sup> に帰属されることから、これらの陰イオンが BPB ガラスでは形成されることを示している。

Fig. 8 は BPB ガラス粉末表面の O1s XPS スペクトルである。Fig. 9 に示す O1s XPS スペクトルの波形分離の結果から P–O–P (架橋酸素), P–O<sup>-</sup> (非架橋酸素) および P–O–B 結合を含むものと判断される。Fig. 10 は波形分離した各ピークの相対面積から求めた P–O–B 結合の存在割合である。図より大気中で粉碎することで調製した BPB ガラス粉末の表面には、 $\leq 6\text{ mol\%}$   $\text{B}_2\text{O}_3$  の領域では、P–O–P および P–O<sup>-</sup> 結合のみが存在し、 $\geq 6\text{ mol\%}$   $\text{B}_2\text{O}_3$  ではこれらの結合に加えて P–O–B 結合し、 $\text{B}_2\text{O}_3$  含有量とともにその存在割合が増大することがわかる。次章では BPB ガラスの特性と構造との関係について検討する。

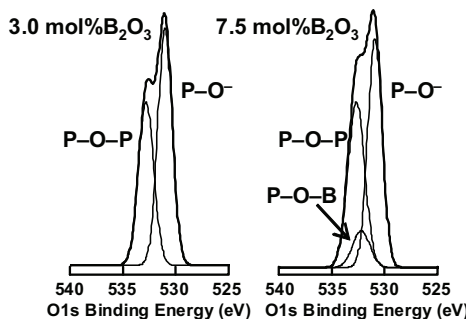


Fig. 9. O1s spectra of two types of BPB glasses for spectral deconvolution.

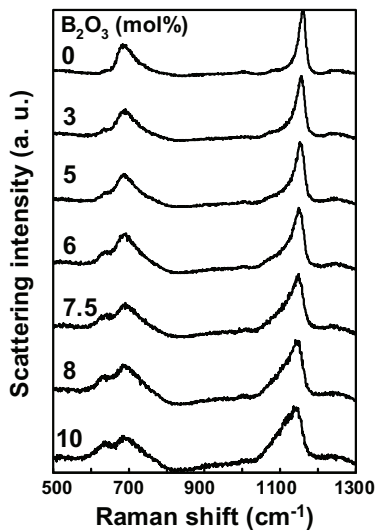


Fig. 7. Raman spectra of BP and BPB glasses.

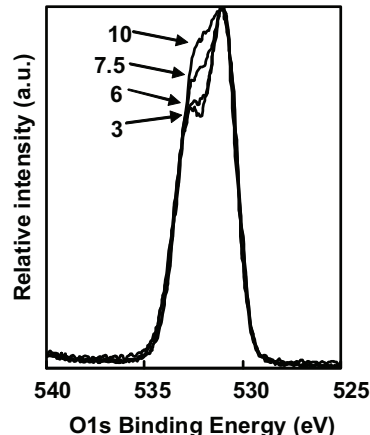


Fig. 8. O1s XPS spectra of BPB glasses.

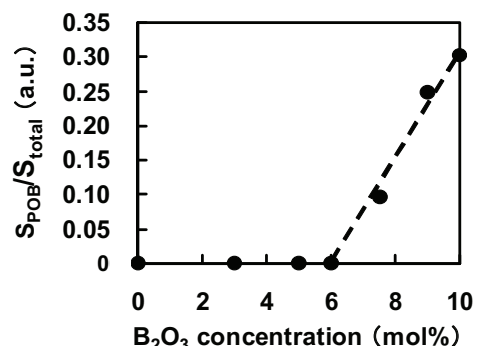


Fig. 10. Variation of P–O–B bonds fraction with  $\text{B}_2\text{O}_3$  concentration at the surface of powdered BPB glasses. The fraction was determined by the deconvolution of XPS O1s spectra.

#### 4. 考 察

3章で記述したように、 $\text{B}_2\text{O}_3$ の添加により  $\text{BaO}-\text{P}_2\text{O}_5-\text{B}_2\text{O}_3$  (BPB)ガラスの結晶化に対する熱的安定性は向上する (Fig. 1(a), (b))。また  $\text{B}_2\text{O}_3$ の含有量の増大とともに、熱膨張係数 (Fig. 4(a)) と密度 (Fig. 4(b)) は小さくなり、ペネトレーション法で求めた  $10^7$ – $10^{11}$  Pa·sにおける等粘度温度 (Fig. 5(a), (b)) は高くなる傾向にある。これらの特性の  $\text{B}_2\text{O}_3$ 含有量依存性はガラス構造の変化と関連付けることができる。

Fig. 11 はラマン分光の結果から推定した BPB ガラスの構造模式図である。BP ガラスは  $\text{PO}_4$ 四面体が鎖状に連なった構造を呈しており、その空き間に  $\text{Ba}^{2+}$ イオンが存在している。高温での軟化過程では、 $\text{Q}^2$ 鎖状構造の部分的な再配列が進むものと考えられる<sup>[4]</sup>。 $\text{B}_2\text{O}_3$ を添加した場合には、ダイボレートグループ (DBG) 等ホウ酸塩陰イオンの存在による  $\text{Q}^2$ 鎖状構造の部分的な架橋が起こるものと推定される。このガラス構造の変化に伴い、BPB ガラスでは耐結晶化性の向上、ガラス転移温度の増大や熱膨張係数の低下が認められる。

また Fig. 4(a), (b)に示したように、特性の組成依存性において直線の傾きから 6 mol%  $\text{B}_2\text{O}_3$ を境に 2つの領域が認められる。これらの領域の境界は BPB ガラス粉末において  $T_x$ の有無 (Fig. 1(b)) や XPS による BPB ガラス粉末表面の化学結合状態の変化 (Fig. 10) と概ね対応している。即ち、 $\geq 6$  mol%  $\text{B}_2\text{O}_3$  の領域では BPB ガラス表面において P–O–B 結合が存在しており、P–O–B 結合の存在が BPB ガラス粉末の耐結晶化性と関係があるものと考えられる。

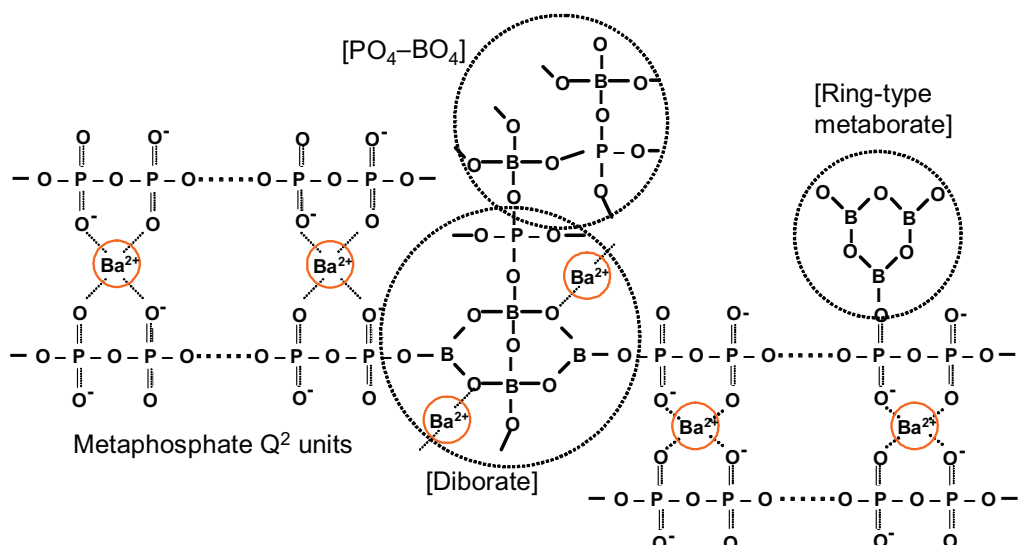


Fig. 11. A schematic structural model of BPB glasses consisting of  $\text{PO}_4$   $\text{Q}^2$  units with ring-type metaborate, diborate, and  $\text{PO}_4-\text{BO}_4$  groups.

P–O–B 結合が形成される理由はラマン分光の結果から推定すると、 $\text{PO}_4$ 四面体に結合した DBG または  $\text{SiO}_4$ 四面体類似の  $\text{PO}_4-\text{BO}_4$  グループによるものである。Fig. 11 に示すように、DBG では B 原子 1 個あたり 1 個の P–O–B 結合が形成されるのに対し、 $\text{PO}_4-\text{BO}_4$  グループでは B 原子 1 個あたり 4 個の P–O–B 結合が形成されることから、後者の方が P–O–B 結合の形成には大きく寄与することになる。 $\text{B}_2\text{O}_3$

の添加に伴うガラス構造の変化についてはさらに詳細な検討を必要とする。 $\leq 6 \text{ mol\%}$   $\text{B}_2\text{O}_3$  の領域では主に DBG による  $\text{Q}^2$  鎮状構造の架橋が起こり、バルク状ガラスの耐結晶化性については向上が認められるものの、粉碎過程を経由した粉末の表面では  $\text{B}_2\text{O}_3$  無添加と同様の結合状態になるため軟化過程で表面結晶化が進行する。一方、 $\geq 6 \text{ mol\%}$   $\text{B}_2\text{O}_3$  では DBG に加えて  $\text{PO}_4-\text{BO}_4$  ネットワークの形成により、ガラス粉末表面に P–O–B 結合が存在し、粉末状態での耐結晶化性が向上する。

なお耐水性については Table 1 に示したように、 $\text{B}_2\text{O}_3$  の添加とともに悪くなる傾向にある。ラマン分光の結果によれば、リングタイプのメタボレート (Fig. 11) が認められることから、微視的には  $\text{B}_2\text{O}_3$  が偏在しており、このメタボレートの存在が BPB ガラスの耐水性と関係があるものと考えられる。

## 5. 結 言

(50–x/2) $\text{BaO}$ –(50–x/2) $\text{P}_2\text{O}_5$ –x $\text{B}_2\text{O}_3$ , x = 0–12 mol% の組成を有する  $\text{BaO}-\text{P}_2\text{O}_5-\text{B}_2\text{O}_3$  (BPB) バルクガラスにおいて、 $\text{B}_2\text{O}_3$  含有量の増大とともにガラス転移温度および等粘度温度は増大し、熱膨張係数と密度は減少する。ラマン分光によれば、BPB ガラスはメタリン酸塩の  $\text{Q}^2$  鎮状構造に加えて、リングタイプメタボレート、ダイボレートおよび  $\text{PO}_4-\text{BO}_4$  グループから構成されている。少量 (3 mol%) の  $\text{B}_2\text{O}_3$  の添加による BPB バルクガラスの耐結晶化性の向上はダイボレートの存在によるものである。XPS の結果によれば、 $\geq 6 \text{ mol\%}$   $\text{B}_2\text{O}_3$  での BPB ガラス粉末の耐結晶化性の向上は粉末表面に存在する P–O–B 結合と関連付けられる。 $\text{B}_2\text{O}_3$  の添加により BPB ガラスの耐水性は劣化する傾向にあり、この結果はリングタイプメタボレートの存在と関係があるものと考えられる。

## 7. 謝 辞

本研究は九州大学大学院総合理工学府修士課程学生の原田尚志君、野中航君の協力によって行われた。ここに特記して感謝の意を表します。

## 7. 引 用 文 献

- [1] H. Takebe, Y. Baba, M. Kuwabara, “Compositional Dependence of Water Durability in Phosphate Glasses”, Proceedings of XXIst International Congress on Glass, Z10, 2007.
- [2] H. In, H. Takebe, K. Morinaga, “Low Photo-Elastic Characteristics of  $\text{BaO}-\text{P}_2\text{O}_5$  Glasses”, Journal of the Ceramic Society of Japan, 111, 6, pp.426 - 429, 2003.
- [3] P. E. Hart, M. G. Mesko, J. E. Shelby, “Crystallization and Phase Diagram in the Sodium Barium Metaphosphate System”, Journal of Non-Crystalline Solids, 263&264, pp.305 - 311, 2000.
- [4] T. Harada, H. In, H. Takebe, K. Morinaga, “Effect of  $\text{B}_2\text{O}_3$  Addition on the Thermal Stability of Barium Phosphate Glasses for Optical Fiber Devices”, Journal of American Ceramic Society, 87, 3, pp.408 - 411, 2004.
- [5] H. Namikawa, M. Munakata, “Effects of the Residual Water on the Transformation Temperature and the Structure of  $\text{BaO}-\text{P}_2\text{O}_5$  Glasses”, Journal of the Ceramic Society of Japan, 73, 2, pp.86 - 94, 1965.
- [6] H. Ebendorff-Heidepriem, W. Seeber, D. Ehrt, “Dehydration of Phosphate Glasses”, Journal of Non-Crystalline Solids, 163, 1, pp.74 - 80, 1993.

- [7] H. Takebe, W. Nonaka, J. Cha, M. Kuwabara, "Properties of BaO-B<sub>2</sub>O<sub>3</sub>-P<sub>2</sub>O<sub>5</sub> Glasses for Active Optical Fibres", Physics and Chemistry of Glasses: European Journal of Glass Science and Technology B, 48, 3, pp.113 - 116, 2007.
- [8] 藤野茂, 井尻英幸, 清水史幸, 森永健次, " ファイバー化のためのガラスの広域粘度測定", 日本金属学会誌, 62, 1, pp.106 - 110, 1998.
- [9] H. Takebe, Y. Baba, M. Kuwabara, "Dissolution Behavior of ZnO-P<sub>2</sub>O<sub>5</sub> Glasses in Water", Journal of Non-Crystalline Solids, 352, 28-29, pp.3088 - 3094, 2006.
- [10] T. Harada, H. Takebe, M. Kuwabara, "Effect of B<sub>2</sub>O<sub>3</sub> Addition on the Structure of Bulk and Powdered Barium Phosphate Glasses", Journal of American Ceramic Society, 89, 1, pp.247 - 250, 2006.
- [11] R. K. Brow, "Review: The Structure of Simple Phosphate Glasses", Journal of Non-crystalline Solids, 263&264, pp.1 - 28, 2000.
- [12] B. N. Meera, J. Ramakrishna, "Raman Spectral Studies of Borate Glasses", Journal of Non-crystalline Solids, 159, 1-2, pp.1 - 21, 1993.
- [13] E. I. Kamitsos, M. A. Karakassides, G. D. Chryssikos, "A Vibrational Study of Lithium Borate Glasses with High Li<sub>2</sub>O Content," Physics and Chemistry of Glasses, 28, 5, 203 - 209, 1987.
- [14] E. I. Kamitsos, M. A. Karakasside, "Structural Studies of Binary and Pseudo Binary Sodium Borate Glasses of High Sodium Content," Physics and Chemistry of Glasses, 30, 1, pp.19 - 26, 1989.
- [15] A. Adamczyk, M. Handke, "The Isotopic Effect and Spectroscopic Studies of Boron Orthophosphate (BPO<sub>4</sub>)," Journal of Molecular Structure, 555, 1-3, pp.159 - 164, 2000.
- [16] T. Tsuchiya, T. Moriya, "Anomalous Behavior of Physical and Electrical Properties in Borophosphate Glasses Containing R<sub>2</sub>O and V<sub>2</sub>O<sub>5</sub>," Journal of Non-crystalline Solids, 38&39, pp.323 - 328, 1980.